

مروری بر فرایند سنتز پلی‌ال نانوذرات مغناطیسی کاربید کبالت

مهدی کبریایی نوش‌آبادی^{*}، علی قاسمی^۱، محمدرضا لقمان استرکی^۱، شهاب ترکیان^۱

^۱ گروه مهندسی مواد، مجتمع علم مواد و مواد پیشرفته الکترو-مغناطیسی، دانشگاه صنعتی مالک‌اشتر، اصفهان، ایران

An overview of the polyol synthesis process of cobalt carbide magnetic nanoparticles

Mahdi Kebriyaei nosh abadi^{*1}, Ali Ghasemi¹, Mohammad Reza Loghman -Estarkei¹, Shahab Torkian¹

¹ Materials Engineering Department, Materials Science and Advanced Materials of Electromagnetics University Complex, Malek Ashtar University of Technology, Shahin Shahr, Iran

Abstract

This review explores the synthesis of cobalt carbide nanoparticles through a polyol reduction method, highlighting their acicular morphology, cluster assembly, and magnetic properties. The study reveals room temperature coercivities exceeding 3.4 kOe and maximum energy products surpassing 20 kJ m⁻³. The composition of Co₃C and Co₂C phases, along with factors such as particle size and morphology, crucially influences permanent magnet characteristics. The acicular shape enhances coercivity and offers potential for particle alignment in nanocomposite cores. However, limitations arise at elevated temperatures due to irreversible dissociation. Further investigation into optimizing particle size, chemistry, and morphology is warranted. Additionally, the polyol process with PVP is shown to induce the formation of Co₃C-structured Co carbide particles with enhanced coercivity. The use of hydroxide and chloride anions in the polyol process yields exchange-coupled cobalt–carbide nanocomposites and single-phase Co₂C nanoparticles, each exhibiting distinct magnetic properties. Synthesis under a high external magnetic field results in cobalt–cobalt carbide microwires with controlled morphology and composition. The study also demonstrates the successful synthesis of cobalt carbide magnetic nanoparticles via a modified polyol process without rare-earth catalysts, showcasing promising magnetization and coercivity values at room temperature. The influence of reaction parameters, such as temperature, hydroxyl ion concentrations, and duration, on the crystallographic structure and magnetic properties is elucidated.

Keywords: Synthesis of polyol, cobalt carbide, permanent magnets, Magnetic nanoparticles

Received: 08/07/2023

Accepted: 12/09/2023

چکیده

این مقاله سنتز نانوذرات کاربید کبالت را از طریق روش احیا پلی‌ال بررسی می‌کند و مورفولوژی سوزنی و خواص مغناطیسی آنها را مورد بررسی قرار می‌دهد. این مطالعه وادارنگی در دمای اتاق بیش از ۳ کOe و مغناطیش اشیاع بیش از ۲۰ kJ m⁻³ را نشان می‌دهد. ترکیب فازهای Co₂C و Co₃C، همراه با عواملی مانند اندازه ذرات و مورفولوژی، بر ویژگی‌های آهنربای دائمی تاثیر می‌گذارد. با این حال، محدودیت‌هایی در دماهای بالا به دلیل تجزیه غیرقابل برگشت ایجاد می‌شوند. علاوه بر این در فرآیند پلیول با PVP نشان داده شده است که باعث ایجاد ذرات کاربید کبالت با ساختار Co₃C با وادارنگی بیشتر می‌شود استفاده از آئینون‌های هیدروکسیل و کلرید در فرآیند پلی‌ال، نانوکامپوزیت‌های کبالت-کاربید و نانوذرات تک فاز Co₂C را به همراه دارد که هر کدام خواص مغناطیسی متمایزی از خود نشان می‌دهند. سنتز تحت یک میدان مغناطیسی خارجی بالا منجر به تولید میکروسیم‌های کاربید کبالت-کبالت با مورفولوژی و ترکیب کنترل شده می‌شود این مطالعه همچنین سنتز موفقیت‌آمیز نانوذرات مغناطیسی کاربید کبالت را از طریق یک فرآیند پلی‌ال اصلاح شده بدین کاتالیزورهای خاصی کمیاب نشان می‌دهد. همچنین تاثیر پارامترهای واکنش، مانند دما، غلاظت یون هیدروکسیل، و مدت زمان، بر ساختار کریستالوگرافی و خواص مغناطیسی نیز بررسی شده است.

واژه‌های کلیدی: سنتز پلی‌ال، کاربید کبالت، آهنربای دائمی، نانوذرات مغناطیسی

تاریخ دریافت: ۱۴۰۲/۰۴/۱۷

تاریخ پذیرش: ۱۴۰۲/۰۷/۲۱

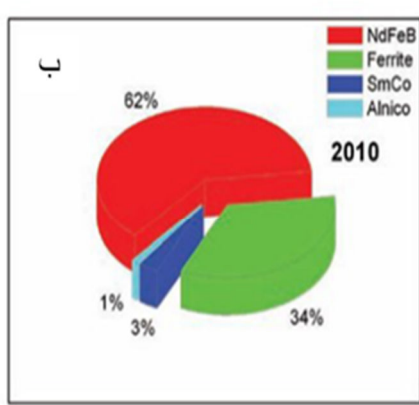
* نویسنده مسئول: مهدی کبریایی نوش‌آبادی

نشانی: اصفهان، شاهین شهر، مجتمع علم مواد و مواد پیشرفته الکترو-مغناطیسی، گروه مهندسی مواد، دانشگاه صنعتی مالک‌اشتر

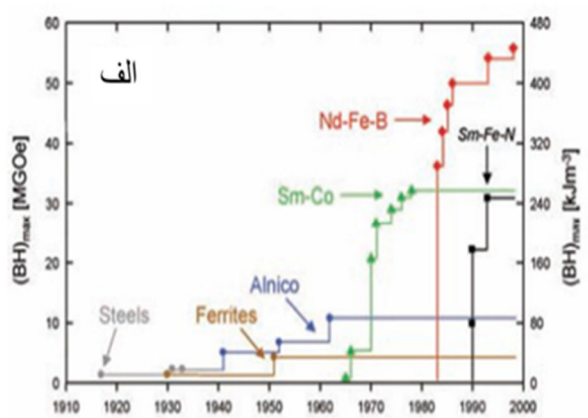
پست الکترونیکی: mahdikebriyaei@gmail.com

۱. مقدمه

آهنرباهاي $Nd_2Fe_{14}B$ آن را به پر مصرف ترین ماده مغناطیسي دائمی در جهان تبدیل کرده است. یکی از مشکلات اصلی استفاده از آهنرباهاي با عناصر خاکی کمیاب قیمت بسیار بالای آنها است. در چند سال گذشته، قیمت عناصر خاکی کمیاب نزدیک به ۱۰ برابر افزایش یافته است [۲]. این مشکل بهانه‌ای شد تا جستجو و تحقیق پیرامون موادی که بیش از این به علت کارایی بیشتر مغناطیس‌های عناصر نادر خاکی رها شده بودند از سرگرفته شود تا جایی که موتورهای از جنس مغناطیس دائمی توانستند کارآمدتر از موتورهای القایی در به کارگیری در موادی که هم وزن یکدیگر بودند، باشند. رایج‌ترین آهنرباهاي دائمی عاری از عناصر خاکی کمیاب، اکسیدهای آهن دوپ شده (فریت‌ها) و آلیاژهای Al-Ni-Co-Fe (AlNiCo) هستند [۵, ۶] همان‌طور که در شکل ۱ نشان داده شده است، آهنرباهاي مبتنی بر فریت از پرکاربردترین آهنرباهاي دائمی هستند که علت آن قیمت پایین‌تر نسبت به آهنرباهاي با عناصر خاکی کمیاب است. باين حال، خواص مغناطیسي دائمی آهنرباهاي مبتنی بر فریت ۹ برابر کمتر از آهنرباهاي $Nd_2Fe_{14}B$ کارآمد است. آهنرباهاي AlNiCo در مقایسه با آهنرباهاي فریتی داراي خواص مغناطیسي بهتری هستند، باين حال رفتار مغناطیس-زدایی آهنرباهاي AlNiCo آنها را برای استفاده در موتورهای الکترونیکی نامطلوب می‌کند [۱]. ازین‌رو، مواد مغناطیسي دائمی بدون عناصر خاکی کمیاب باید کشف شوند که داراي خواص مغناطیسي دائمی و هزینه تولید پایین باشند.



آهنرباهاي دائمی قطعه‌ای از فولاد سخت و یا دیگر مواد مغناطیسي که تحت اثر میدان‌های شدید، مغناطیس شده و این اثر را برای مدت طولانی در خود حفظ می‌کنند. در حالی که توانایی تأمین شار مغناطیسي، آهنرباهاي دائمی را در طیف وسیعی از کاربردها مفید می‌سازد، جذاب‌ترین و نوظهورترین کاربرد آنها در موتورهای الکترونیکی است. موتورهای الکترونیکی مبتنی بر آهنربا دائمی با چگالی بالا (مоторهای PM) رایج‌ترین نوع این موتورهای است که در خودروهای الکترونیکی هیبریدی و توربین‌های بادی استفاده می‌شود. این موتور دارای مزایای زیادی نسبت به موتورهای القایی از جمله: اندازه کوچک‌تر و وزن کمتر، سروصدای کمتر و نیازهای تعمیر و نگهداری کمتر هستند [۱, ۲]. استفاده از موتورهای PM در محصولات تجاری با کشف مواد مغناطیسي دائمی مبتنی بر عناصر خاکی کمیاب در دهه‌های ۱۹۶۰ و ۱۹۷۰ آغاز شد [۱, ۳, ۴]. دو آهنربا با عناصر خاکی کمیاب که به طور گسترده مورداستفاده قرار می‌گیرند، آلیاژهای ساماریوم کبالت (Sm_xCo_y) و آلیاژ سه‌تایی از Nd-Fe-B، با استوکیومتری $Nd_2Fe_{14}B$ است. آلیاژهای مبتنی بر Sm_xCo_y دارای خواص مغناطیسي حرارتی عالی و خواص مغناطیسي دائمی قابل توجهی هستند. در حالی که آلیاژهای $Nd_2Fe_{14}B$ با دارابودن خواص مغناطیسي بسیار خوب، حتی در مقایسه با آهنرباهاي Sm_xCo_y ، ولی دارای خواص مغناطیسي حرارتی ضعیفي هستند. خواص مغناطیسي عالی



شکل ۱- (الف) پیشرفت محصولات انرژی برای مواد مغناطیسي دائمی مختلف در طول دهه ۱۹۰۰-۲۰۰۰. (ب) نمودار دایره‌ای که سهم بازار آهنرباهاي دائمی را نشان می‌دهد. [اصلاح شده از مرجع ۱]

بطور کلی ابتدا در سال ۲۰۱۲ زاخاری و همکاران [۱۵] موفق به سنتز کاربید کبالت با تغییر در نسبت غلظت‌های مختلف $[OH^-]:[Cl^-]$ شدند. پس از آن در همان سال فرغالی و همکاران [۲۲] به بررسی تاثیر اعمال میدان مغناطیسی در حین سنتز پرداختند و کاربیدهای کبالت و میکرو سیم‌های کاربید کبالت را با مقدار مغناطیس اشباع emu/g ۷۴/۳۲، مغناطش پسماند emu/g ۱۵/۱۱ و مقدار نیروی وادارندگی ۳۹۳Oe سنتز کردند. پس از آن در سال ۲۰۱۵ زمانی پور و همکاران [۱۶] به بررسی تاثیر دما، زمان و نسبت غلظت $[OH^-]:[Co]$ پرداختند. در ادامه ۲۰۱۶ فوجیدا و همکاران [۳۰] به بررسی تاثیر افزودن پلی‌وینیل پیرولیدون پرداختند. با توجه به اهمیت سنتز خالص Co_2C بعنوان ماده‌ای با خاصیت مغناطیس سخت شن و همکاران [۳۴] در سال ۲۰۲۰ موفق به سنتز نانوذرات فرومغناطیسی تک فاز Co_2C بدون استفاده از مواد سطحی و معرفه‌های پوششی شدند و در ادامه تحقیقات آنها در سال ۲۰۲۲ یاکین و همکاران [۳۲] از طریق فرآیند مشابه نیز موفق به سنتز Co_2C خالص شدند.

۲. فرایند سنتز پلی‌ال

هریس^۲ و همکاران برای سنتز نانوذرات فلزی کاربید کبالت از روش شیمیایی پلی‌ال مایع استفاده کردند که در آن پلی‌ال هم بعنوان حلال و هم به عنوان عامل کاهنده یا احیاکننده عمل می‌کند. سنتز شیمیایی شامل افزودن ۰/۱۰/۲ مول کبالت (II) استات ($Co(CH_3COO)_2 \cdot 4 H_2O$) به تترا اتیلن گلیکول^۳ در حضور پلی‌وینیل پیرولیدون^۴ (PVP) بعنوان یک عامل پوشش همراه با سدیم هیدروکسید ($NaOH$) و ساماریوم (III) استات به عنوان کاتالیزور صورت پذیرفت. محلول قبل از شروع واکنش به مدت ۱۰ تا ۱۵ دقیقه در گاز N_2 (یا در برخی موارد گاز آرگون) گاززادایی شد. سپس محلول تا نقطه‌جوش تترا اتیلن گلیکول (۵۷۳ k)^۵ به مدت ۲-۱ ساعت با استفاده از دستگاه تقطیر با هم زن مغناطیسی حرارت داده شد. پس از اتمام واکنش محلول تا دمای اتاق

ازین رو سنتز محلول ذرات Co_xC با استفاده از تکنیک معروف به فرایند پلی‌ال به منظور دستیابی به آهنرباهای دائمی با هزینه تولید پایین صورت گرفت. این تکنیک اولین بار توسط فیت^۱ و همکاران در سال ۱۹۸۸ گزارش شد. در این گزارش، نشان داده شد که Cu^{2+} , Co^{2+} و Ni^{2+} در فرم‌های هیدروکسید، اکسید یا استات آنها می‌توانند در اتیلن یا دی‌اتیلن گلیکول احیا شوند. پس از هسته‌زایی و رشد ریز ذرات از زمان این کشف اولیه، فرایند پلی‌ال به سنتز سایر فلزات واسطه مانند Fe, Pd, Ru و Ag گسترش یافته است [۸,۹]. در ادامه به بررسی ذرات کبالت سنتز شده پلی‌ال و عوامل مؤثر بر آنها خواهیم پرداخت. تا کنون بسیاری از دانشمندان، سنتز یک ماده نانو‌کامپوزیت متشکل از مخلوطی از نانوذرات Co_3C و Co_2C با اندازه‌های مختلف را با استفاده از روش احیا پلی‌ال گزارش کرده‌اند. این ماده دارای خواص مغناطیسی مناسب با $(BH)_{max}$ از ۲۰ KJm⁻³ و نیروی وادارندگی بیشتر از $\frac{3}{4} kOe$ است، و این خواص با اندازه و نسبت اختلاط نانوذرات دستخوش تغییر می‌گردند [۱۰]. کبالت فلزی از این نظر منحصر به فرد است که دارای دو آلتروب پایدار در دمای پایین است، (فازهای α (HCP) و β (FCC)). در پلی‌ال‌های با نقطه‌جوش پایین‌تر، سنتز فازهای کبالت α و β را می‌توان با تغییر $[OH^-]$ کنترل کرد [۱۱-۱۴]. با مقایسه کنترل فازی که در نانوذرات Co_xC فلزی مشاهده می‌شود، با کنترل فازی که در نانوذرات Co_3C حاصل می‌شود، می‌توان نتیجه گرفت که نوع کبالت اولیه روی فاز تولیدی نهایی تأثیر می‌گذارد. طبق نتایج حاصل از پراش پرتو ایکس با دمای بالا (ETXRD) می‌توان دریافت که Co_3C به $Co-\alpha$ تجزیه می‌شود. در حالی که در دمای 325 درجه سانتی‌گراد به کبالت α و در درجه سانتی گراد به فاز $Co-\beta$ تبدیل می‌شود. ساختار کریستالی Co_3C با ساختار Fe_3C (سمنتیت) هم شکل است. هسته‌زایی ذرات $Co-\alpha$ برای تشکیل Co_3C ضروری است درحالی که تشکیل Co_3C نسبتاً دشوارتر است، زیرا به هر دو فاز کبالت α و β تجزیه می‌شود [۱۵].

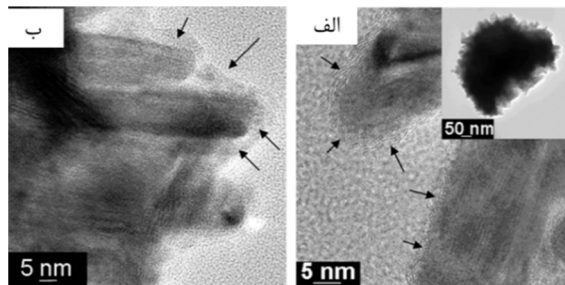
³ Tetraethylene glycol

⁴ Poly-vinyl pyrrolidone

¹ Fievet

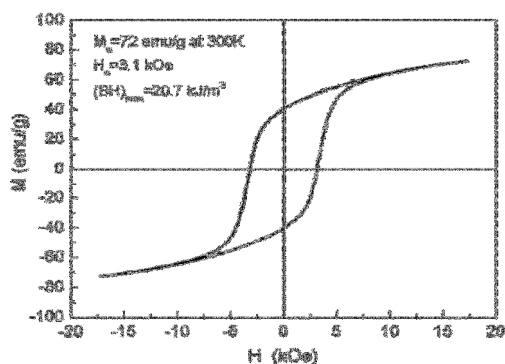
² Harris

توسط یک لایه نازک گرافیت مانند با طول ۱:۴ نانومتر احاطه شده‌اند. لایه گرافیتی در این نمونه‌ها به عنوان یک ساختار لایه‌ای ظاهر می‌شود که قبلًاً به عنوان یک ساختار «پیاز مانند» در نانوذرات کاربید گزارش شده است [۱۰].



شکل ۳- تصاویر (الف) و (ب) تصاویر TEM از کریستال‌های میله مانند کاربید کبالت هستند که توسط یک لایه نازک ۱ تا ۴ نانومتری گرافیت مانند (که با فلاش مشخص می‌شود) احاطه شده‌اند. [۱۰].

نمودار هیسترزیس حاصل از تست VSM در دمای اتاق نمونه در شکل ۴ نشان داده شده است. بر اساس شکل ۵ می‌توان نتیجه گرفت که هرچه مغناطش اشباع ماده بیشتر باشد، مقدار نیروی وادارندگی کمتر خواهد بود. طبق شکل ۵ با افزایش نسبت $\text{Co}_2\text{C}:\text{Co}_3\text{C}$ مقدار مغناطش اشباع کمتر و وادارندگی افزایش می‌یابد در نتیجه می‌توان اینطور گفت که Co_3C مسئول مغناطش اشباع و Co_2C مسئول نیروی وادارندگی در مخلوط حاصل هستند. از جمله عوامل دیگری که می‌تواند بر میزان نیروی وادارندگی اثرگذار باشد، سوزنی بودن مورفولوژی است که در نتیجه آن باعث خواص ناهمسانگرد و ایجاد نیروی وادارندگی بیشتر می‌شود. در نهایت می‌توان این گونه گفت که Co_2C از نوع مغناطیس سخت و Co_3C از نوع مغناطیس نرم خواهد بود [۳].

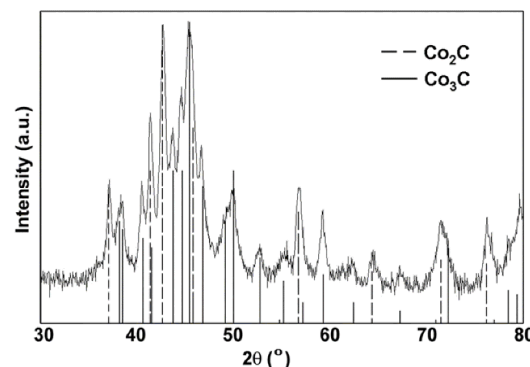


شکل ۴- حلقه هیسترزیس در دمای اتاق نمونه [۱۰].

خنک و رسوب سیاهرنگ چندین بار با استفاده از آهنربای خاکی کمیاب به صورت مغناطیسی از محلول جدا و در متانول شستشو داده شد تا کاتالیزورهای واکنش داده نشده حذف شود [۱۰]. مهدی زمانی‌پور و همکاران [۱۶] نیز روشی را بیان کردند که در آن نیازی به استفاده از عناصر خاکی کمیاب به عنوان کاتالیزور نمی‌باشد و به جای آن از پتانسیم هیدروکسید (KOH) استفاده گردید و به خواص یکسانی با هریس و همکاران دست یافتد. در ادامه برای بررسی نتایج از سه تحلیل XRD به منظور بررسی فازها، TEM به منظور بررسی مورفولوژی و VSM به منظور بررسی خواص مغناطیسی استفاده کردند که در ادامه به بیان آنها می‌پردازیم.

بر اساس تحقیقات کارول^۱ و همکاران [۱۵] مکانیسم واکنش فرضی تشکیل CoxC در ترا اتیلن گلیکول، TEG، شامل ۴ مرحله فرض گردید: ۱- تفکیک نمک کبالت برای تشکیل یون کبالت، ۲- هسته و رشد ذرات Co ، ۳- تجزیه TEG در سطح کبالت و ۴- انتشار کربن به شبکه کبالت.

شکل ۲ نتایج آنالیز XRD را نشان می‌دهد. طبق این تصویر و مقایسه آن با الگوهای پراش Co_2C و Co_3C خالص می-توان نتیجه گرفت فازهای غالب تشکیل شده در این روش ترکیبی از فازهای Co_3C و Co_2C می‌باشد.

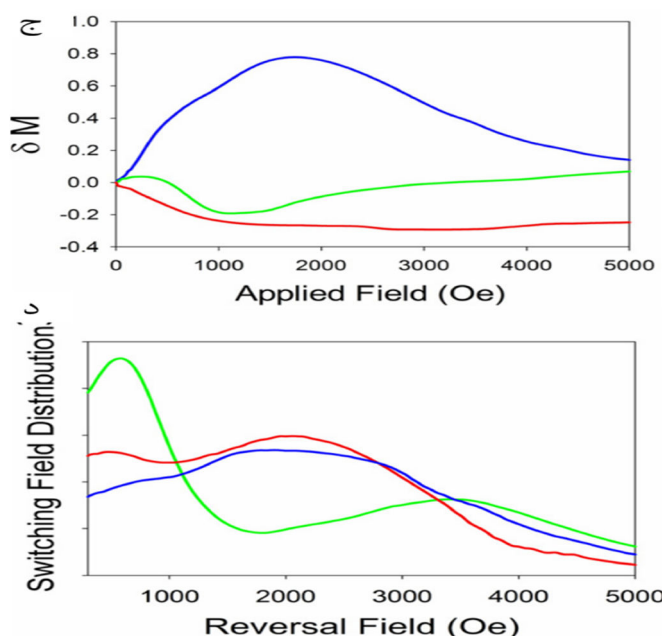


شکل ۲- آنالیز XRD به دست آمده از بودرهای تولید شده با استفاده از واکنش احیا پلی‌ال [۱۰].

بر اساس مشاهدات TEM (شکل ۳)، کلاسترهای ذرات متراکم شده با قطر حدود ۳۰۰ تا ۵۰۰ نانومتر به دست آمده، متتشکل از ذرات کاربید کبالت نانوکربیتالی با مورفولوژی سوزنی یا میله‌ای با نسبت ابعاد تقریبی ۱:۲ است. کریستال‌ها

^۱ Carroll

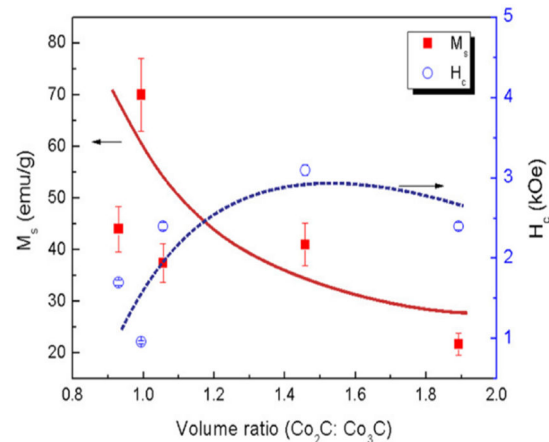
تک محوری ساختار Co_3C باعث می‌شود که بر همکنش‌های مغناطیسی استاتیکی مغناطیسی زدایی بین دانه‌های Co_3C همسایه منجر به نیروی وادارندگی کمتر از بهینه شود. با دوبکردن در فاز Co_2C ، این برهمکنش‌های مغناطیسی بین دانه‌های Co_3C را می‌توان به حداقل رساند و جفت تبادلی به تعامل مغناطیسی بین دانه‌ای غالب تبدیل می‌شود. این جفت تبادلی قابل توجه در ذرات کامپوزیت Co_3C و Co_2C منجر به بالاترین نیروی وادارندگی مشاهده شده (Oe) [۱۵] - $3/2$ می‌شود. اگرچه، افزایش ترکیب Co_2C به غاظت‌های بالاتر (بیش از 80%) باعث جدایش بین فازهای Co_3C و Co_2C و توزیع نیروی وادارندگی دووجهی می‌شود. اندازه دانه همچنین بر مقادیر نیروی وادارندگی ذرات Co_xC تأثیر دارد، با اندازه دانه‌های پایین‌تر، جفت تبادلی را افزایش داد و در نتیجه نیروی وادارندگی را افزایش داد (شکل ۶) [۱۵].



شکل ۶- نمودارهای کاتنوری که اثر ترکیب فاز و اندازه دانه را در (الف) مغناطش اشباع بر حسب emu/g و (ب) نیروی وادارندگی بر حسب kOe نشان می‌دهند. (ج) نمودارهای هنکل و (د) توزیع میدان معکوس برای فاز خالص Co_3C (قرمز)، Co_3C کامپوزیت‌های غنی (آبی) و کامپوزیت‌های غنی از Co_2C (سبز). نمودارهای هنکل از مقادیر مغناطیسی پسماند هم‌دما (IRM) و مغناطیس زدایی جریان مستقیم (DCD) [۱۷]

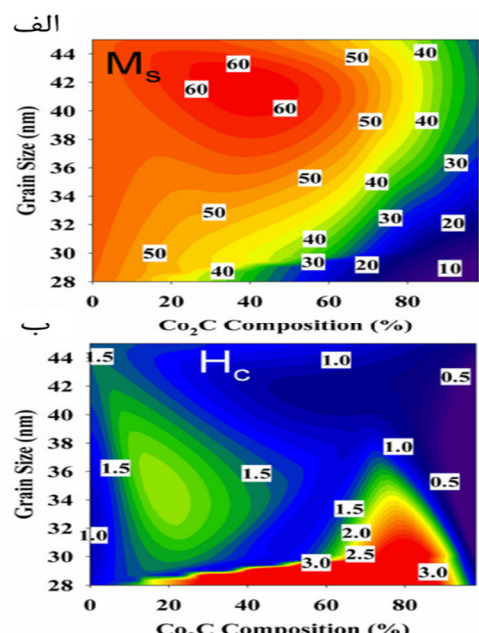
۱.۱.۲. عامل احیاکننده

پتانسیل احیا پلی‌ال‌ها به شدت به وزن مولکولی یا طول زنجیره بستگی دارد، فلاندا هرچه زنجیره پلی‌ال طولانی‌تر



شکل ۵- نموداری از خواص مغناطیسی در مقابل نسبت حجم فاز که رابطه مقابله بین مغناطش اشباع و نیروی وادارندگی را با کسر حجمی Co_2C و اندازه‌گیری شده توسط XRD نشان می‌دهد [۱۰].

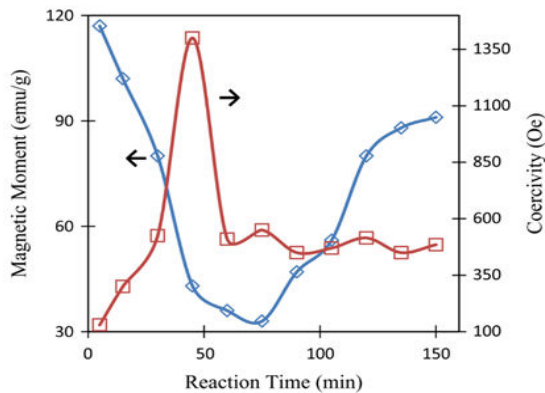
تک‌فاز دارای نیروی وادارندگی کمتر (-450 Oe) Co_2C (۱۲۰۰ emu/g) و مغناطیس کم (13 emu/g) است، در حالی که تک‌فاز دارای اجبار بالاتر ($2/1 - 1/6$ kOe) و مغناطیس اشباع بالا (55 emu/g) است. با این حال، ماهیت ذرات تصادفی ذرات Co_3C همراه با ناهمسانگردی مغناطیسی



شکل ۷- نمودارهای کاتنوری که اثر ترکیب فاز و اندازه دانه را در (الف) مغناطش اشباع بر حسب emu/g و (ب) نیروی وادارندگی بر حسب kOe نشان می‌دهند.

در ادامه به بررسی عوامل مختلف تأثیرگذار بر کاربید کبات خواهیم پرداخت:

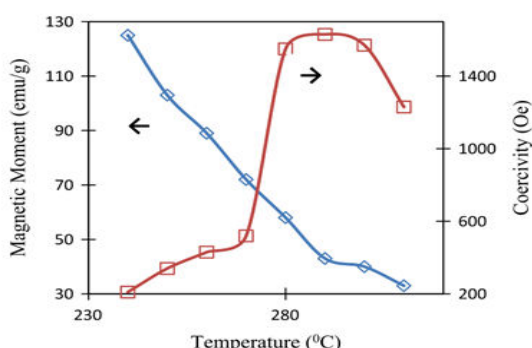
۱. تأثیر عوامل مختلف بر سنتز کاربید کبات
۲. تأثیر عوامل مختلف مختلف بر سنتز کاربید کبات



شکل ۷- تغییر در مغناطیش اشباع و نیروی وادارندهای کبالت با توجه به زمان واکنش. منحنی آبی مغناطیش اشباع و منحنی قرمز نشان‌دهنده شدت میدان بازدارنده‌ی نانوذرات کاربید کبالت است [۱۶].

۲. ۳. دمای واکنش

پس از انتخاب حلال مناسب و تعیین زمان واکنش ایده‌آل برای سنتز کاربید کبالت، نوبت به بررسی تأثیر دمای واکنش است. مشخص شده است که دما نقش بسیار مهمی در تشکیل ذرات فلزی در محلول‌ها دارد [۸]. به منظور بررسی تأثیر دما بر فرایند سنتز، تغییرات محصول در دمای بین ۲۴۰ تا ۳۱۰ درجه سانتی‌گراد توسط زمانی‌پور و همکاران [۱۶] اندازه‌گیری گردید. مطالعات مغناطیسی و ساختاری نشان داده است که تشکیل کاربید کبالت ناپایدار در دمای ۲۷۰ درجه سانتی‌گراد شروع می‌شود و در دمای بالای واکنش، نیروی وادارنده‌ی کاربیدهای کبالت به هسته کبالت - کربن که به تجزیه جزئی کاربیدهای کبالت به هسته کبالت - کربن نسبت داده می‌شود. ساختارهای پوسته که با مطالعات قبلی مطابقت دارد [۱۹، ۲۰]. رفتار سیستم با تغییر دمای واکنش در شکل ۸ نشان‌داده شده است.



شکل ۸- مغناطیش اشباع و نیروی وادارنده‌ی نانوذرات کاربید کبالت با توجه به دمای واکنش. منحنی آبی نشان‌دهنده گشتاور مغناطیسی و خط قرمز نشان‌دهنده نیروی وادارنده‌ی نمونه‌ها است [۱۶].

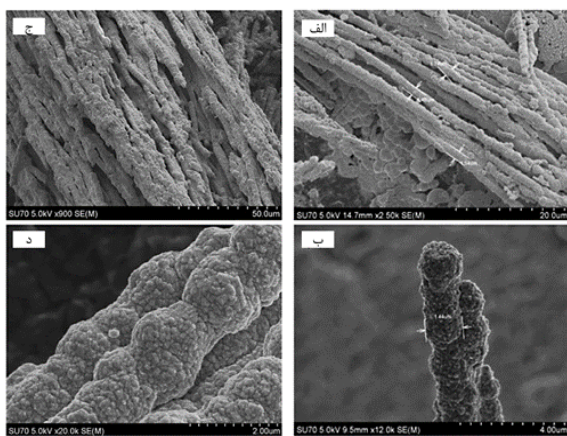
باشد پلی‌ال کاربایی بیشتری در احیا نمک‌های فلزی خواهد داشت. پرکاربردترین پلی‌ال‌ها در این روش‌ها اتیلن گلیکول و تترا اتیلن گلیکول است که در شرایط عملیاتی یکسان، پس از انجام واکنش، ذره تشکیل شده توسط اتیلن گلیکول RFTAR نرم مغناطیسی نشان خواهد داد. بر اساس نتایج XRD کبالت فلزی توسط اتیلن گلیکول تشکیل خواهد شد. در حالی که تترا اتیلن گلیکول نانوذرات کاربید کبالت را تولید می‌کند [۱۶].

۲. ۱. ۲. زمان واکنش

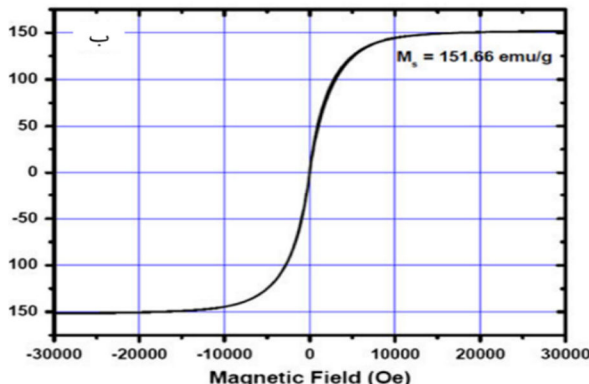
همان‌طور که در جای دیگر [۱۸] بحث شد، سرعت احیا ذرات، و بنابراین شکل، اندازه و خواص آنها تابعی از سیستمیک واکنش است. یکی از مهم‌ترین پارامترها زمان واکنش است. با انجام دادن واکنش برای زمان‌های مختلف، کسر حجمی هر فاز کاربید و تشکیل فاز ثانویه را می‌توان از آخرین مرحله واکنش کنترل کرد. میزان نفوذ کربن در شبکه کبالت، می‌تواند کسر هر فاز کبالت - کاربید را تعیین کند. از یک طرف، واکنش‌های طولانی کبالت و کاربید تولید می‌کنند، در حالی که واکنش‌های کوتاه از نفوذ کامل کربن در شبکه کبالت جلوگیری می‌کند و منجر به تشکیل نانوساختارهای کبالت - کاربید - کربن می‌شود.

طبق تحقیقات زمانی‌پور و همکاران [۱۶] برای بررسی تأثیر زمان واکنش، واکنش‌ها را در بازه‌های زمانی بین ۵ تا ۱۵۰ دقیقه انجام دادند. شکل ۷ مقدار نیروی وادارنده‌ی مغناطیش اشباع را به ازای زمان‌های مختلف واکنش نشان می‌دهد. در بازه زمانی کوتاه گشتاور مغناطیسی بالا مشاهده گردید، این در حالی است که نیروی وادارنده‌ی به دلیل تشکیل ذرات کبالت فلزی مقدار کمی را دارد. با افزایش زمان واکنش و رو رشد ذرات، نیروی وادارنده‌ی افزایش پیدا می‌کند و در زمان واکنش ۴۵ دقیقه میزان نیروی وادارنده‌ی به $1/4$ K Oe و به حداقل خود می‌رسد. با افزایش زمان واکنش به بیش از ۹۰ دقیقه بخشی از کاربید کبالت به کبالت فلزی تجزیه می‌شود و در نتیجه گشتاور افزایش یافته و نیروی وادارنده‌ی به طور چشمگیری کاهش پیدا خواهد کرد.

می‌رسید. عدم الگوهای پراش ناهمسانگرد نشان‌دهنده این است که پس از جوانه‌زنی ذرات در کنار هم تجمع شده و دانه‌های بزرگ‌تر را تشکیل داده‌اند، پس از آن دانه‌ها به دلیل اعمال میدان به صورت زنجیره‌ای درآمده‌اند. شکل ۱۰ منحنی حلقه هیسترزیس کاربید کبات سنتز شده (شکل ۱۰-الف) و سیم‌های کبات (شکل ۱۰-ب) را در دمای اتاق نشان می‌دهد. با توجه به حلقه هیسترزیس در دمای اتاق، می‌توان مقدار مغناطیسی اشباع را $74/32 \text{ emu/g}$ با مغناطش پسماند و مقدار $15/11 \text{ emu/g}$ و مقدار نیروی وادارندگی 393 Oe را در آن استخراج نمود.



شکل ۹- تصاویر SEM از زنجیره‌های کاربید کبات سنتز شده (الف و ب) و کبات (ج و د) [۲۲].

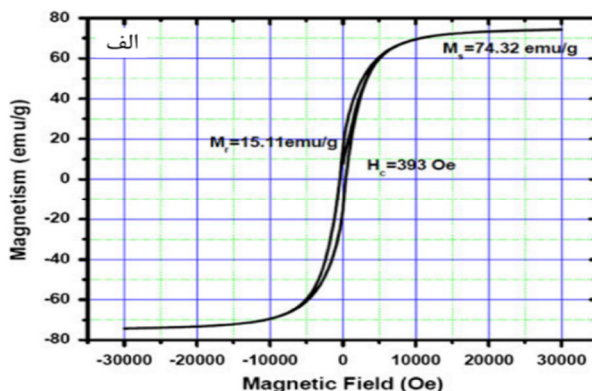


شکل ۱۰- حلقه هیسترزیس (الف) کاربید کبات سنتز شده و (ب) سیم‌های کبات [۲۱].

گردید. اعمال میدان مغناطیسی خارجی در طول سنتز نانوذرات مغناطیسی منجر به متبلور شدن نانو میله‌های Co در ساختار HCP می‌شود. تغییر قدرت میدان مغناطیسی

۲.۱.۴. تأثیر اعمال میدان مغناطیسی در حین سنتز

در تحقیق دیگری فرغالی و همکاران [۲۱] با استفاده از روش پلی ال در حضور میدان مغناطیسی خارجی بالای $4/3 \text{ KOe}$ کاربیدهای کبات و میکرو سیم‌های کاربید کبات را سنتز کردند. در این روش ترا اتیلن گلیکول به همراه مقداری ترا هیدرات استات کبات به صورت مکانیکی هم زده شده و تا دمای 275°C درجه سانتیگراد با 2 مول پتانسیم هیدروکسید تحت شرایط تقطیر حرارت داده شده است. در همین دما یک میدان مغناطیسی یکنواخت به اندازه 4 KOe به محلول اعمال گردید و محلول قبل از حذف گرما و میدان مغناطیسی در دمای 275°C درجه سانتیگراد به مدت 20 دقیقه باقی ماند. پس از آن محلول به مدت 4 دقیقه درون سانتریفیوز قرارداد شد تا حلال آن خارج شود. سپس رسوب به صورت مغناطیسی جدا گردید و چندین بار با متانول شسته شد و در دمای اتاق در اجاق خلاً خشک گردید. طبق نتایج XRD اندازه بلورهای متوسط تولیدی 18 نانومتر به دست آمد. از تصاویر به دست آمده از آنالیز SEM (شکل ۹)، یک زنجیره را نشان می‌دهد که از به هم پیوستن کره‌های مختلف تشکیل شده است. طول زنجیره‌ها بین 18 تا 30 میکرومتر و عرض آن‌ها $1/6 \text{ میکرومتر}$ اندازه‌گیری شد. درصد چگالی دانه‌ها بر روی سطح کم و اندازه ذرات به 150 نانومتر نیز



شکل ۱۰- حلقه هیسترزیس (الف) کاربید کبات سنتز شده و (ب) سیم‌های کبات [۲۲].

پس از فرغالی، بوسینیا^۱ و همکاران [۲۲] به منظور بهبود خواص نانو میله‌های کاربید کبات آزمایشی را طراحی کردند که باعث بهبود خواص مغناطیسی نانو میله‌های کبات

^۱ Bousnina

کریستالی معمولاً مشاهده می‌شود. به دلیل اختلاف انرژی کمین دو شکل کالت در اندازه دانه ۴۰-۲۰ نانومتر ذرات دارای ساختار HCP و FCC دوقلو هستند. ذرات با قطر کمتر از nm ۲۰ با ساختار fcc تشکیل می‌شوند^[۲۶]. هنگام استفاده از فرایند پلی‌ال معمولاً مشاهده می‌شود که افزودن یک باز قوی می‌تواند برای کنترل نسبت ساختارهای HCP و FCC تشكیل شده استفاده شود. با افزایش مقدار سدیم هیدروکسید مقدار فاز FCC افزایش می‌یابد. هینوتسو^۲ و همکاران نشان دادند که افزودن یک باز قوی می‌تواند برای محدود کردن رشد استفاده شود. به این ترتیب ذرات به اندازه میکرون در غیاب یک باز قوی تشکیل می‌شوند، اما نانوذراتی که در حضور سدیم هیدروکسید تشکیل می‌شوند دارای ابعاد در مقیاس نانو هستند^[۲۶]. در نهایت می‌توان گفت که هم غلاظت باز و هم پیش ساز کالت می‌تواند اثرات قابل توجهی روی فاز و شکل ذرات کالت تولید شده داشته باشد^[۲۷]. به منظور بررسی تأثیر باز قوی لازم است که دو مورد ذیل مورد بررسی قرار گیرد:

الف- نسبت OH:Co

طبق تحقیقات زاخاری اگر نسبت OH:Co بین ۰/۲ تا ۰/۰ در نظر گرفته شود، محصول حاصل کالت فلزی، اگر این نسبت تا ۲/۵ افزایش پیدا کند فاز Co₃C خالص تشکیل خواهد شد. با بیشتر شدن نسبت فوق ترکیب حاصل مخلوطی از Co₃C و Co₂C را در برخواهد داشت. در صورتی که نسبت گفته شده به میزان ۱۰ برسد فاز خالص Co₂C تشکیل خواهد شد. در نسبت‌های بالاتر کالت FCC و HCP به دست خواهد آمد. بر اساس نتایج ETXRD، پایداری Co₃C در دست را تا دمای ۳۰۰ درجه سانتی‌گراد و CO₂C تا دمای ۲۷۵ درجه سانتی‌گراد حفظ می‌کند. حضور کربن در ساختار کوارتز اگرچه مغناطیس را کاهش می‌دهد؛ ولی ناهمسانگردی مغناطیسی تک محوری قابل توجهی به خصوص در CO₃C که باعث نیروی و ادارندگی بالایی می‌شود را ایجاد می‌کند. بیشترین نیروی و ادارندگی برای

اعمالی در طول سنتز منجر به تغییر طول متوسط و نسبت ابعاد میله‌ها می‌شود. با اعمال میدان مغناطیسی، ذرات ناهمسانگرد بسیار خوب متبلور شده و با طول متوسط ۵۷۰ نانومتر و قطری در محدوده نانومتر (۱۵ نانومتر) با استفاده از فرایند پلی‌ال حاصل می‌گردد. خواص مغناطیسی مجموعه‌های نانو میله‌های کالت با اعمال یک میدان مغناطیسی خارجی در طول سنتز بسیار بهبودیافته است. بهبود اجباری (۵/۸kOe در K ۳۰۰) در این فرایند حاصل می‌گردد. بهبود در MS (نزدیک به ۹۲ درصد حجم) و نسبت M_R/M_s = ۰/۸ به اشباع ماندگاری به اشباع میله‌های بلندتر به دست آمده در میدان بالاتر تمایل به اتخاذ یک تراز موازی در طول دارد. سنتز چنین میله‌های بلندی، امکان به دست آوردن خطوط جدیدی از تحقیقات را در مورد مطالعه رسانش الکترونیکی در نانوسیم‌های فرومغناطیسی فلزی باز می‌کند.

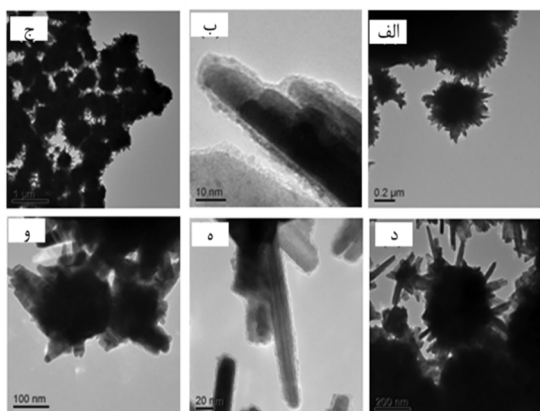
۱.۲.۵. تأثیر باز قوی (OH⁻)

زاخاری^[۲۷] در سال ۲۰۱۴ به بررسی حضور باز قوی در فرایند پلی‌ال پرداخت که در ادامه پس از بررسی علل افزودن باز قوی به شرح نتایج آزمایش ایشان خواهیم پرداخت. علت استفاده از باز به منظور پروتون‌زدایی قوی پلی‌ال و در نتیجه آن افزایش الکترون‌دهی توسط گلیکول و ثبت بهتر ذرات فلزی در حال رشد است. هدف دیگر اضافه کردن باز قوی تغییر در پایداری اکسیداتیو گلیکول است. طبق آزمایش‌ها، نشان داده شده است که پتانسیل اکسیداسیون اتیلن گلیکول در غیاب یک باز قوی مقدار ۷/۰-۰/۴۳V است که این مقدار با اضافه کردن یک بازه قوی به مقدار ۷/۰-۰/۴۴V می‌رسد^[۲۳]. که توانایی احیا کالت از Co²⁺ به Co⁰ را که نیاز به پتانسیل ۷/۰-۰/۴۹V دارد را فراهم می‌سازد^[۲۴]. با این حال افزودن باز می‌تواند تفاوت قابل توجهی در اندازه و فاز ذرات کاریبد کالت سنتز شده از طریق پلی‌ال ایجاد کند. کالت با دو ساختار متبلور می‌شود نوع اول آن از نوع HCP و نوع دیگر آن ساختار FCC است^[۲۷]. در مقیاس نانو هر دو فاز

² Hinotsu

^۱ Zachary

۱۶ emu/g خواهد رسید. لازم به ذکر است که ناهمسانگردی شکل هرچه بیشتر باشد آهنربای تشکیل شده دارای بیشترین انرژی تولیدی بالاتری خواهد بود و از طرفی هم میله‌های با لبه‌های گرد ناهمسانگردی بیشتری نسبت به میله‌های با لبه‌های سوزنی خواهد داشت و در نهایت می‌توان گفت میله‌های با لبه‌های گرد به دلیل ناهمسانگردی بیشتر و در نتیجه بیشترین انرژی تولیدی بالاتری را به دنبال خواهد داشت [۲۷].



شکل ۱۱- تصاویر TEM از (الف) نانوکامپوزیت‌های Co_xC گل مانند، و (ب) نانو میله‌هایی که سطح ذرات را تشکیل می‌دهند، (ج، د) محل‌های نانوکامپوزیت Co_xC شبیه خارپشت دریایی، (ه) برآمدگی‌های سوزنی مانند آنها، و (و) ذرات Co_2C [۱۱].

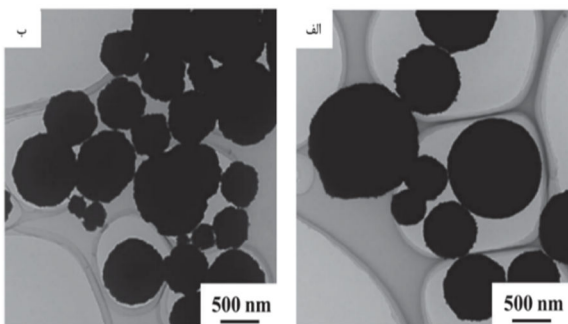
زمانی پور و همکاران نیز تحقیقاتی را درمورد غلظت یون هیدروکسید انجام دادند که طبق آن یون‌های OH^- مکان‌های جوانه‌زنی برای تشکیل نانوذرات فلزی در محلول در نظر گرفته شدند؛ بنابراین میزان OH^- نقش مهمی در ساختار و خواص ترکیبی محصولات دارد. شکل ۱۲ تأثیر یون‌های هیدروکسیل و محتوای کربن بر مغناطش اشباع ذرات و شکل ۱۳ تأثیر یون‌های هیدروکسیل و محتوای کربن بر نیروی وادارندگی ذرات برای مقادیر مختلف کالت را نشان می‌دهد. با توجه به شکل ۱۲ و ۱۳ برای مثال در کالت 0.3 M گرم باتوجه به نیروی وادارندگی بسیار کم و حلقه هیسترزیس، مغناطیس نرم تولید خواهد شد. با بررسی ساختار آن می‌توان دریافت که کربن فرصت نفوذ نداشته و دانه‌های درشت با پوشش کربن غیر مغناطیسی ایجاد شده‌اند. درصورتی که غلظت OH^- از یک حدی بیشتر باشد تعداد

نانوکامپوزیت‌های متتشکل از Co_2C و Co_3C با اندازه دانه‌های کریستالی کوچک است. حضور Co_2C باعث کاهش مغناطیس می‌شود. بالاترین مغناطش اشباع برای Co_3C خالص و نانو کامپوزیت‌های حاوی ۴۰ تا ۸۰ درصد Co_2C است. [۲۷].

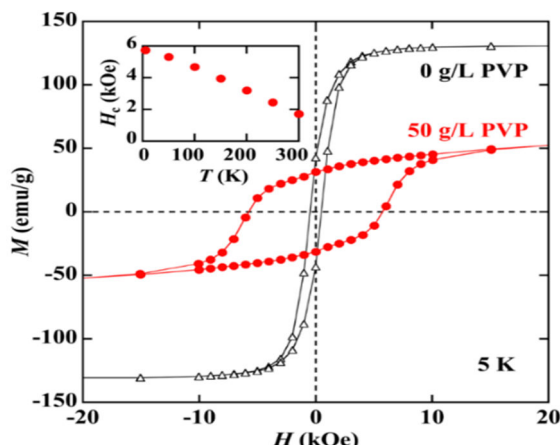
ب- غلظت $[\text{OH}^-]$ و $[\text{Cl}^-]$

باتوجه به تحقیقات زاخاری و همکاران [۲۷] نسبت $\text{Co}_2\text{C}:\text{Co}_3\text{C}$ در غلظت‌های متفاوت Cl^- و OH^- متفاوت است. ایشان بیان کردند که اگر از غلظت $[\text{Cl}^-] = 0.25\text{ M}$ و $[\text{OH}^-]$ استفاده شود نسبت $\text{Co}_2\text{C}:\text{Co}_3\text{C}$ برابر $60:40$ ، درصورتی که از غلظت $[\text{OH}^-] = 0.37\text{ M}$ و $[\text{Cl}^-] = 0.25\text{ M}$ استفاده گردد نسبت $\text{Co}_2\text{C}:\text{Co}_3\text{C}$ برابر $70:30$ و در صورتی که از Co_2C استفاده شود محصول تکفار TEM تشکیل خواهد شد [۱۱، ۱۳، ۲۸، ۲۹]. طبق تصاویر TEM به دست‌آمده از واکنش، درصورتی که از $[\text{Cl}^-] = 0.25\text{ M}$ و $[\text{OH}^-] = 0.37\text{ M}$ استفاده شود، ذرات سنتز شده قطر حدود 300 nm و ساختار نانو گل را تشکیل خواهد داد (شکل ۱۱-(الف)). که روی لبه‌های سطحی آن لوله‌هایی با طول بین 30 تا 80 nm و قطر 7 nm تشکیل خواهد شد (شکل ۱۱-(ب)). در صورت استفاده از $[\text{OH}^-] = 0.37\text{ M}$ و $[\text{Cl}^-]$ و برآمدگی‌های سوزنی شکل بلندتر و مورفولوژی بیشتر شبیه خارپشت دریایی تشکیل خواهد شد که برآمدگی‌های میله مانند تا 150 nm افزایش پیدا خواهد کرد (شکل ۱۱-(ج) و (د))، و در حالی که از $[\text{Cl}^-] = 0.71\text{ M}$ و $[\text{OH}^-]$ استفاده شود بیضی‌های نامنظم Co_2C با قطر تا 30 nm تشکیل خواهد شد (شکل ۱۱-(و)) [۱۱]. خواص مغناطیسی به دست‌آمده برای حالات ذکر شده درصورتی که از $[\text{Cl}^-] = 0.25\text{ M}$ و $[\text{OH}^-] = 0.37\text{ M}$ استفاده کنیم دارای مغناطش اشباع برابر 38 emu/g و مقدار نیروی وادارندگی برابر $2/4\text{ KOe}$ خواهد بود، درصورتی که از $[\text{Cl}^-] = 0.71\text{ M}$ و $[\text{OH}^-]$ استفاده کنیم مغناطش اشباع تغییری نمی‌کند؛ ولی مقدار نیروی وادارندگی کاهش و به $1/3\text{ KOe}$ می‌رسد و در نهایت اگر از $[\text{Cl}^-] = 0.71\text{ M}$ و $[\text{OH}^-]$ استفاده شود با ثابت بودن مقدار نیروی وادارندگی نسبت به ترکیب $\text{M}_{0.37}\text{C}$ ، مقدار مغناطش اشباع تقریباً نصف شده و به

پلی‌وینیل پیرولیدون (شکل ۱۴-(الف)) مشابه ذرات به دست آمده بدون پلی‌وینیل پیرولیدون (شکل ۱۴-(ب)) در شرایط آزمایشی حاضر بود. بر اساس نتایج حاصل از آنالیز XRD (شکل ۱۵) در محلولی که بدون پلی‌وینیل پیرولیدون سنتز شده بود تنها فاز کبالت فلزی FCC و HCP مشاهده گردید، و در محلول با ۵۰ گرم پلی‌وینیل پیرولیدون فاز Co₃C مشاهده شد. از نظر مغناطیسی در دمای ۵ منحنی هیسترزیس (شکل ۱۶) ذرات بدون پلی‌وینیل پیرولیدون دارای اشباع مغناطیسی بالاتر و اجبار کمتری در برابر ذرات حاصل با ۵۰ گرم پلی‌وینیل پیرولیدون بودند. لازم به ذکر است که با افزایش دما، نیروی وادارندگی مواد کاهش پیدا کرده و در درجه ۳۰۰ مقدار نیروی وادارندگی ذرات به دست آمده با ۵۰ گرم پلی‌وینیل پیرولیدون به ۱/۷ KOe کاهش پیدا خواهد کرد.

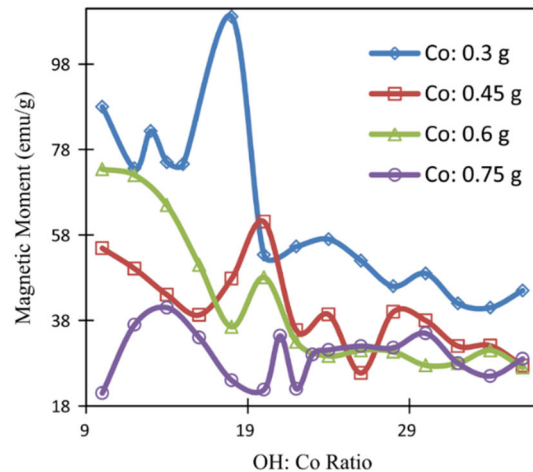


شکل ۱۴- تصاویر TEM از ذرات سنتز شده (الف) با ۵۰ گرم در لیتر [۳۰] PVP و (ب) بدون PVP

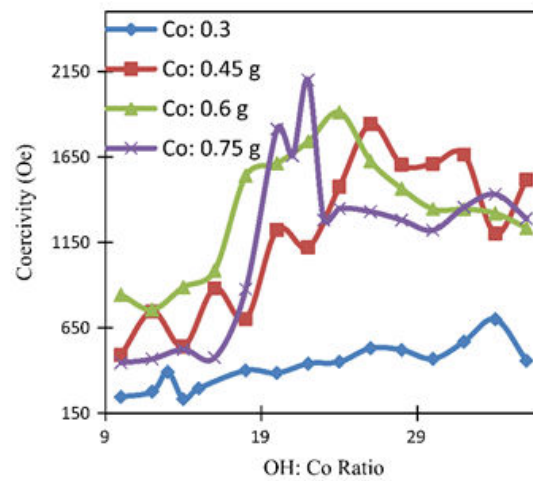


شکل ۱۵- منحنی مغناطیسی در دمای ۵ از ذرات سنتز شده با ۵۰ گرم در لیتر PVP، همراه با ذرات سنتز شده بدون PVP [۳۰].

جوانه‌های کبالت زیاد شده و محلول با کمبود کربن مواجه می‌شود و در نتیجه منجر به تولید ذرات کوچک با پوشش کربن با خواص مغناطیسی نرم خواهد گردید. نسبت OH:Co بهینه بین ۱:۲۶-۱:۲۰ در نظر گرفته شده است [۱۶].



شکل ۱۶- تأثیر یون‌های هیدروکسیل و محتوای کربن بر مغناطش اشباع ذرات برای مقادیر مختلف کبالت [۱۶].

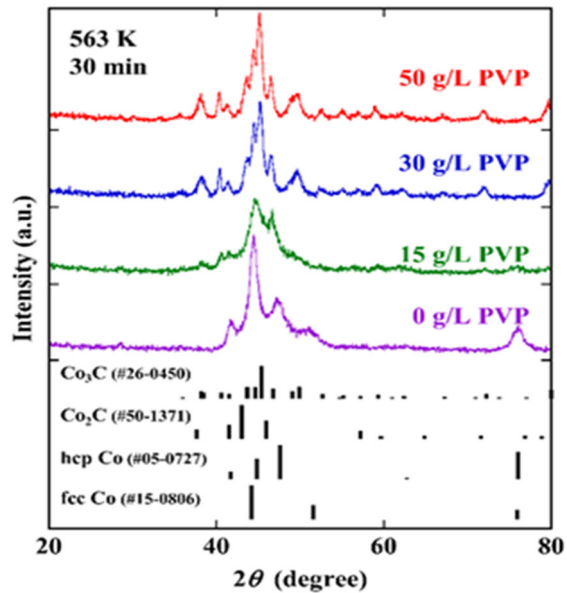


شکل ۱۷- تأثیر یون‌های هیدروکسیل و محتوای کربن بر نیروی وادارندگی ذرات برای مقادیر مختلف کبالت [۱۶].

۱.۲. ۶. تأثیر پلی‌وینیل پیرولیدون

طبق تحقیقات فوجیدا و همکاران [۳۰] نتایج حاصل از تصاویر TEM ذرات سنتز شده بدون پلی‌وینیل پیرولیدون شکل کروی و با اندازه‌های زیر میکرون حاصل می‌گردد که این مورد با مطالعات قبلی که در آن اندازه ذرات کاربید کبالت با افرودن پلی‌وینیل پیرولیدون به محلول اندازه ذرات به زیر ۲۰ نانومتر کاهش می‌یابد، در تناسب است [۳۱]. با این حال مورفولوژی و اندازه ذرات ثبت شده با ۵۰ گرم

به عنوان پیش‌ساز ارائه کردند و Co_2C با مغناطیس اشباع 10 remug^1 و وادارندگی 2 kOe را به دست آوردند. آنها دریافتند که اندازه ذرات بزرگ ممکن است منجر به وادارندگی کمتر شود. همه گزارش‌های قبلی نشان می‌دهد که خواص مغناطیسی توسط روش‌های آماده‌سازی و خواص مواد از جمله ساختار بلوری، مورفولوژی و ترکیب تعیین می‌شود. توسعه یک روش آسان برای تهیه کاربید کبات فاز خالص برای مطالعه خواص مغناطیسی آن بسیار مهم است. یاکین^۲ و همکاران [۳۲] نیز در یک فرایند دو مرحله‌ای موفق به تولید نانوذرات Co_2C شدند. در این فرایند ۶ میلی مول ترا هیدرات استات کبات به همراه ۱۰ میلی مول پلی‌وینیل پیرولیدون در ۷۵ میلی‌لیتر ۴,۱ بوتاندیول^۳ حل می‌شود. سدیم هیدروکسید به منظور بهبود قلیالیت و ۰/۱۵ میلی مول هیدرات کلرید روتینیم^۴ به عنوان جوانه‌زا به محلول اضافه می‌شود. مخلوط به مدت ۲۰ دقیقه در دمای نزدیک به جوش همراه با هم زدن مکانیکی حرارت داده می‌شود. سپس در دمای اتاق خنک و به وسیله جداسازی مکانیکی ذرات Co_2HCP حاصل جدا می‌شود. ذرات Co_2C طی فرایند کربونیزاسیون حاصل می‌گردند. بدین منظور ۵۲ میلی مول اکتادی‌سلامین^۵ (ODA) به همراه ۳ میلی مول هگزادسیل تری متیل آمونیوم بروماید^۶ (CTAB) در یک فلاکس سه گردنبه حل می‌شوند. حرارت دهنده به مدت ۱ ساعت تحت اتمسفر نیتروژن در دمای ۱۳۰ درجه سانتیگراد به منظور حذف هوا و رطوبت صورت می‌گیرد. سپس ۲ میلی مول پودر کبات تهیه شده در مرحله قبل به سرعت در محلول حل می‌شود. سوسپانسیون در دمای ۳۳۰–۳۵۰ درجه سانتیگراد به مدت ۳۰ دقیقه همراه هم زدن مکانیکی صورت می‌گیرد که در صورت استفاده از اولی آمین^۷ (OAM) به جای اکتادی‌سلامین، دما بین ۲۹۰–۳۵۰ تغییر می‌کند. نمونه‌های حاصل به وسیله جداسازی مغناطیسی جدا شده توسط اتانول و هگزان شسته می‌شود. خواص مغناطیسی نانوذرات کبات



شکل ۱۶- الگوهای پراش اشعه ایکس ذرات سنتز شده با ۰، ۱۵، ۳۰، ۵۰ گرم در لیتر PVP، همراه با ذرات سنتز شده بدون PVP. دما و مدت زمان واکنش به ترتیب ۵۶۳ کلوین و ۳۰ دقیقه بود. الگوهای پراش مرجع Co-FCC، Co_2C ، Co_3C ، و hcp Co در پایگاه داده مرکز بین‌المللی داده‌های پراش (ICDD) نیز آورده شده است [۳۰].

۳. سنتز Co_2C خالص

نانوذرات کاربید کبات از جمله Co_2C و Co_3C به دلیل وادارندگی زیاد و مغناطیس اشباع بالا، به عنوان مواد مغناطیسی توجه زیادی را به خود جلب کرده‌اند. امروزه با توجه به اهمیت تشکیل کامپوزیت‌های سخت - نرم؛ مانند کامپوزیت‌های کاربید کبات - نیکل [۳۰] که به منظور بهبود بیشترین انرژی تولیدی $(\text{BH})_{\max}$ با استفاده از نانوذرات کاربید کبات با وادارندگی بالا به عنوان الکترو کاتالیست‌های بادوام بالا [۳۲] و الکترو کاتالیست‌های مورداستفاده برای واکنش احیا هیدروژن [۳۲] نیاز به سنتز خالص فاز Co_2C است. با این حال، به دست آوردن فاز خالص Co_2C با خواص مغناطیسی خوب دشوار است. در بالا روش زاخاری و همکاران [۱۵] به منظور سنتز و خواص مغناطیسی فاز خالص Co_2C را از طریق تنظیم نسبت $[\text{Co}(\text{OH})]$ و $[\text{Co}]$ شرح داده شد. ژانگ^۸ و همکاران [۳۳] یک رویکرد چند مرحله‌ای برای به دست آوردن Co_2C تک‌فاز با استفاده از لورات کبات

^۱ Octadecylamine

^۲ hexadecyl trimethyl ammonium bromide

^۳ oleylamine

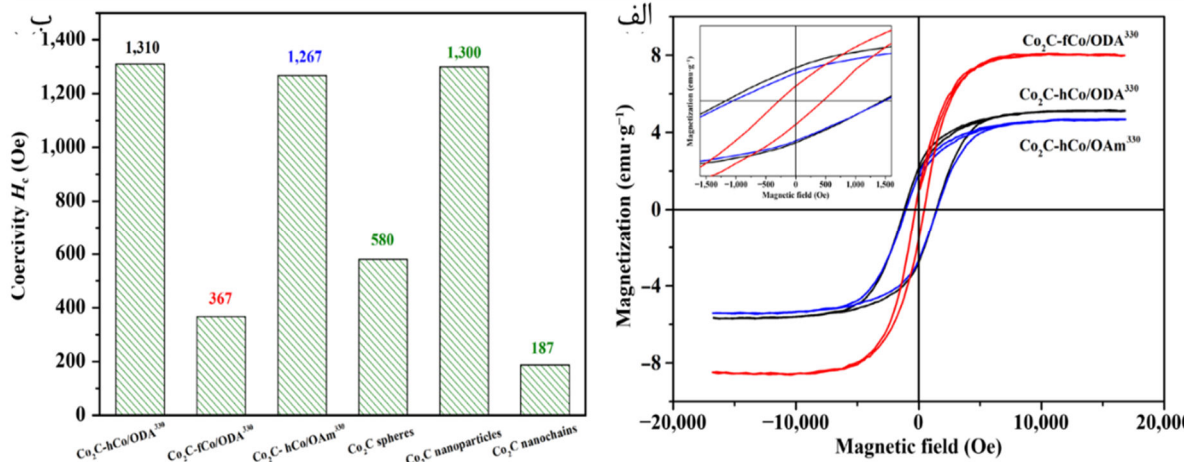
^۱ Zhang

^۲ Yaqin

^۳ 1,4-butanediol

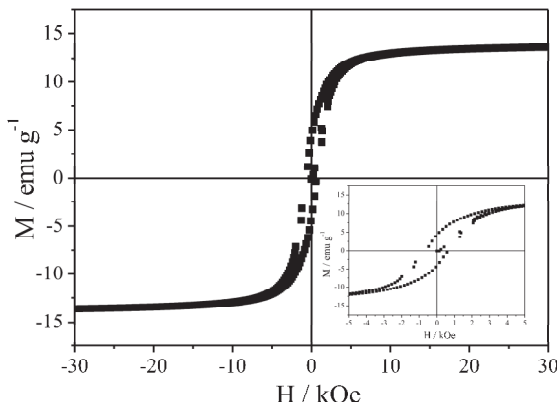
^۴ ruthenium chloride hydrate

تولید شده از این روش در شکل ۱۷ آورده شده است. کم بودن میزان مغناطیش اشباع به دلیل وجود یک لایه کربن روی سطح نانوذرات است.



شکل ۱۷- (الف) حلقه‌های پسماند مغناطیسی نانوذرات Co_2C که در دمای اتاق اندازه‌گیری شده‌اند و قسمت داخلی نمای بزرگتری از حلقه‌های پسماند را نشان می‌دهد. (ب) مقایسه H_c از مواد Co_2C تک‌فاز گزارش شده: کره‌های Co_2C [۳۴]، نانوذرات Co_2C [۱۵] و نانو زنجیره‌های Co [۳۳].

جمع‌آوری و با آب مقطر و استون شسته می‌شود. در نهایت در دمای ۶۰ درجه سانتیگراد به مدت ۱۰ ساعت در خلاخشک می‌شود.



شکل ۱۸- حلقه‌های پسماند مغناطیسی Co_2C در ۳۰۰ کلوین اندازه‌گیری شده و قسمت داخلی نمای بزرگتری از حلقه‌های پسماند را نشان می‌دهد. [۳۴].

۴. نتیجه‌گیری

در مقاله موروری بالا، از روش پلی‌ال برای سنتز نانوذرات کاریید کجالت (Co_2C) استفاده گردید. پلی‌ال علاوه بر نقش حلال، به عنوان عامل احیاکننده نیز عمل می‌کند. سنتز شیمیایی با افزودن کجالت (II) استات و ساماریوم (III)

در جدیدترین دستاوردها به منظور سنتز فاز خالص Co_2C شن^۱ و همکاران [۳۴] توانستند نانوذرات فرومغناطیسی تک‌فاز Co_2C را با یک روش آسان یک مرحله‌ای بدون افزودن مواد سطحی و معروف‌های پوششی سنتز کنند. نانوذرات Co_2C تولیدی دارای مورفولوژی کره‌ای نامنظم با اندازه دانه حدود ۲۳ نانومتر، مغناطیش اشباع بزرگ ۱۳/۶ emug^{-۱} و وادارندگی بالا ۵۸/۰ kOe بودند. در شکل ۱۸ منحنی هیسترزیس ذراخ کاریید کجالت سنتز از روش شن و همکاران شده نشان داده شده است. روش سنتز شن برای سنتز نانوذرات Co_2C به شرح ذیل است:

تتراهیدرات استات کجالت، پلی‌اتیلن گلیکول، ساکارز، هیدروکسید پتاسیم محلوطی از ۱ میلی مول تترا هیدرات استات کجالت و ۱ میلی مول هیدروکسید پتاسیم (KOH) به یک فلاسک ۱۰۰ میلی‌لیتری چهار گردنی شامل ۶۰ میلی‌لیتر پلی‌اتیلن گلیکول اضافه می‌شود، سپس محلول تحت همزدن با فراصوت تشکیل می‌شود. پس از آن، محلول در دمای ۲۷۰ درجه سانتیگراد به مدت ۱۸۰ دقیقه در اتمسفر نیتروژن قرار گرفته و سپس در دمای اتاق خنک می‌شود. رسوب سیاه به دست‌آمده توسط یک آهنربای دائمی خاکی کمیاب

^۱ Shen

- stronger, lighter, and more energy efficient." *Advanced materials*, **7** (2011) 821-842.
- [2] M.J. Kramer, R.W. McCallum, I.A. Anderson, S. Constantinides. "Prospects for non-rare earth permanent magnets for traction motors and generators," **7**(2012)752-763.
- [3] J. M. D. Coey, "Advances in Magnetics." *IEEE Transactions on Magnetics*, **12** (2011) 4671.
- [4] Rs A. McCurrie, Ferromagnetic materials: structure and properties. Academic Press, 1994.
- [5] S.Sugimoto, "Current status and recent topics of rare-earth permanent magnets." *Journal of Physics D: Applied Physics* , **6** (2011) 064001.
- [6] H. R. Kirchmair, "Permanent magnets and hard magnetic materials." *Journal of Physics D: Applied Physics* , **11** (1996) 2763.
- [7] F. Fievet, J.P. Lagier, B. Blin, B. Beaudoin, M. Figlarz. "Homogeneous and heterogeneous nucleations in the polyol process for the preparation of micron and submicron size metal particles." *Solid State Ionics*, **32**(1989) 198-205.
- [8] M.A. Willard, LK Kurihara, E.E .Carpenter, S. Calvin, V.G. Harris. "Chemically prepared magnetic nanoparticles." *International materials reviews*, **3-4** (2004) 125-170.
- [9] N. Chakroune, G. Viau, S. Ammar, L. Poul, D. Veautier, M.M. Chehimi, C. Mangeney, F. Villain, and F.Fiévet. "Acetate-and thiol-capped monodisperse ruthenium nanoparticles: XPS, XAS, and HRTEM studies." *Langmuir*, **15** (2005) 6788-6796.
- [10] V.G. Harris, Y. Chen, A. Yang, S. Yoon, Z .Chen, A.L. Geiler, J. Gao, C.N Chinnasamy, L.H Lewis. "High coercivity cobaltcarbide nanoparticles processed via polyol reaction: a new permanent magnet material." *Journal of Physics D:Applied Physics*, **16** (2010) 165003.
- [11] N. Chakroune, G. Viau, C. Ricolleau, F. Fiévet-Vincent, F. Fiévet. "Cobalt-based anisotropic particles prepared by the polyol process." *Journal of materials chemistry* , **2** (2003) 312-318.
- [12] C. N. Chinnasamy, B. Jeyadevan, K. Shinoda, K. Tohji, A. Narayanasamy, K. Sato, S. Hisano."Synthesis and magnetic properties of face-centered-cubic and hexagonal-close-packed Ni nanoparticlesthrough polyol process." *Journal of applied physics* , **10** (2005) 101309.
- [13] G. Viau, C Garcia, T. Maurer, G Chaboussant, F. Ott, Y Soumare, J.Y. Piquemal. "Highly crystalline cobalt nanowires with high coercivity prepared by soft chemistry." *physica status solidi (a)*, **4**(2009) 663-666.
- [14] Y. Soumare, C Garcia, T Maurer, G Chaboussant, F. Ott, F Fiévet, JY Piquemal, G Viau. "Kinetically controlled synthesis of hexagonally close-packedcobalt nanorods with high magnetic coercivity." *Advanced Functional Materials* , **12** (2009) 1971-1977.
- [15] K. J. Carroll, Z. J. Huba, R.S. Spurgeon, M.Qian, Sh. N. Khanna, D. M. Hudgins, M. L. Taheri, E. E. Carpenter"Magentic properties of Co₂C and Co₃C nanoparticles and their assemblies." *Applied physics letters*, **1** (2012) 012409.
- [16] M. Zamanpour, S.P. Bennett, L. Majidi, Y. Chen, V.G. Harris. "Process optimization and properties of magnetically hard cobalt carbide nanoparticles via modified polyol method." *Journal of Alloys and Compounds*, **625** (2015) 138-143.
- [17] E.P. Wohlfarth. "Relations between different modes of acquisition of the remanent magnetization of ferromagnetic particles." *Journal of Applied Physics* , **3** (1958) 595-596.
- [18] D. Kodama, K. Shinoda, K. Sato, Y. Konno, R. J. Joseyphus, K. Motomiya, H. Takahashi, T. Matsumoto, Y. Sato, K. Tohji, B. Jeyadevan. "Chemical synthesis of sub-micrometer-to nanometer-sized magnetic FeCo dice." *Advanced Materials* , **23** (2006) 3154-3159.
- [19] M.J. Rosen, J.T. Kunjappu. Surfactants and interfacial phenomena. *John Wiley & Sons*, (2012)1-98
- [20] W.S. Seo, J.H. Lee, X. Sun, Y. Suzuki, D. Mann, Z. Liu, M. Terashima, P.C. Yang, M.V. McConnellet al. "FeCo/graphitic-shell nanocrystals as advanced magnetic-resonance-imaging and nearinfrared agents." *Nature materials* , **12** (2006) 971-976.

استات به ترا اتیلن گلیکول در حضور پلی وینیل پیرولیدون و سدیم هیدروکسید صورت گرفته و پس از واکنش، جامد سیاهرنگی رسوب می کند که از محلول جدا و شسته شده می شود. تحلیل های XRD, TEM و VSM برای بررسی فازها، مورفولوژی و خواص مغناطیسی مورد استفاده قرار می گیرند. همچنین در مورد عوامل مختلفی همچون عامل احیاکننده، زمان واکنش، دما و اعمال میدان مغناطیسی در سنتز کاربید کالت بررسی شدند و نتایج نشان داده اند که با بهینه سازی این عوامل، خواص مطلوب تری در نانوذرات کاربید کالت به دست می آید. افروden باز قوی و پلی وینیل پیرولیدون نیز تأثیرات مهمی بر فاز و شکل ذرات داشته و باعث بهبود خواص مغناطیسی محصولات شده است. نتایج نشان می دهند که افزایش نسبت Co₃C به Co₂C باعث جدایش بین فازهای Co₃C و Co₂C می شود و افزایش ترکیب Co₂C به غلظت های بالاتر، نیروی و ادارندگی دو وجہی را افزایش می دهد.

بطور کلی مطابق موارد ذکر شده در بالا بهینه ترین حالت از نظر معناطش اشباع و و ادارندگی بصورت ذیل حاصل خواهد گردید:

ابتدا ترا اتیلن گلیکول بعنوان حلal، کالت (II) استات بعنوان نمک کالت، هیدروکسید و کلرید با نسبت غلظت برابر یک و نسبت [OH⁻]:[Co]²⁺/5 در یک بالن ته گرد ریخته شود. پس از آن با همزدن مکانیکی تا دمای ۳۰۰ درجه سانتی گراد به مدت ۴۵ دقیقه حرارت داده شود. در نهایت با استفاده از سانتریفیوژ شتسشو داده شود.

۵. پیشنهادات

با توجه به اینکه کاربید کالت سنتز شده از نظر مقدار و ادارندگی و معناطش اشباع مقدار قابل قبولی را دارا هستند ولی قابل مقایسه با آهنرباهای خاکی یا فربیتی نیستند. از این رو پیشنهاد می شود تا با کامپوزیت کردن کاربید کالت با سایر مواد خواص مغناطیسی مطلوب تری را بدست آوریم.

مرجع ها

- [1] O. Gutfleisch, M.A. Willard, E. Brück, C.H. Chen, S.G. Sankar, J.P. Liu."Magnetic materials and devices for the 21st century:

- [29] B. Wiley, T. Herricks, Y. G. Sun, and Y. N. Xia, *Nano Lett.*, **4** (2004) 2057
- [30] S. Fujieda, A. Yomogida, K. Shinoda, S. Suzuki. "Magnetic properties of cobalt-based carbide particles synthesized by the polyol process." *IEEE Magnetics Letters*, **7** (2016) 1-4.
- [31] M. Yabushita, A. Neya, K. Endo, M. Nakaya, K. Kanie, A. Muramatsu."Simple Liquid-Phase Synthesis of Cobalt Carbide (Co_2C) Nanoparticles and Their Use as Durable Electrocatalysts." *Materials transactions* (2021) MT-M2021147.
- [32] Y. Qie, Y. Liu, F. Kong, Z .Yang, H. Yang. "High coercivity cobalt carbide nanoparticles as electrocatalysts for hydrogen evolution reaction." *Nano Research*, **5** (2022) 3901-3906.
- [33] Y. Zhang, Y. Zhu, K. Wang, D. Li, D .Wang, F. Ding, D. Meng, X. Wang, C. Choi, Z. Zhang. "Controlled synthesis of Co_2C nanochains using cobalt laurate as precursor: Structure, growth mechanism and magnetic properties." *Journal of Magnetism and Magnetic Materials*, **456** (2018) 71-77.
- [34] X. Shen, T. Zhang, H.Y. Suo, L. Yan, L. Huang, C. Ma, L. Li, X. Wen, Y. Li, Y. Yang. "A facile one-pot method for synthesis of single phase Co_2C with magnetic properties." *Materials Letters*, **271** (2020) 127783.
- [21] A.A. Farghaly, Z.J. Huba, E.E. Carpenter "Magnetic field assisted polyol synthesis of cobalt carbide and cobalt microwires." *Journal of Nanoparticle Research* , **10** (2012) 1-5.
- [22] M.A. Bousnina, A. Dakhlouqi-Omrani, F .Schoenstein, Y. Soumire, A.H. Barry, J.Y. Piquemal, J.Yves. Piquemal, G. Viau, S. Mercone, and N. Jouini. "Enhanced magnetic behavior of Cobalt nano-rods elaborated by the polyol process assisted with an external magnetic field." *Nanomaterials* , **2** (2020) 334.
- [23] R.J. Joseyphus, T. Matsumoto, H .Takahashi, D. Kodama, K. Tohji, B. Jeyadevan. "Designed synthesis of cobalt and its alloys by polyol process." *Journal of Solid State Chemistry* ,**11** (2007) 3008-3018.
- [24] C.T. Lynch, R. Summitt, A. Slier. CRC handbook of materials science. Vol. 1. Boca Raton: CRC press, 1974.
- [25] S. Ram, "Allotropic phase transformations in HCP, FCC and BCC metastable structures in Cononaparticles." *Materials Science and Engineering: A*, **304** (2001) 923-927.
- [26] T. Hinotsu, B. Jeyadevan, C. N. Chinnasamy, K. Shinoda, K. Tohji,"Size and structure control of magnetic nanoparticles by using a modified polyol process." *Journal of applied physics*, **11**(2004) 7477-7479.
- [27] Z.J. Huba. Synthesis and characterization of cobalt carbide based nanomaterials. *Virginia Commonwealth University*, 2014.
- [28] C. Osorio-Cantillo, O. Perales-Perez . "Synthesis and characterization of metastable nanocrystalline cobalt." *Journal of Applied Physics*, **7** (2009) 07A332.